

## بررسی روش‌های تعیین پارامتر پایدارسازی در مسئله انتقال به سمت پایین

علیرضا آزموده اردلان<sup>۱\*</sup>، عبدالرضا صفری<sup>۲</sup> و یحیی الله توکلی<sup>۳</sup>

<sup>۱</sup> دانشیار گروه مهندسی نقشه‌برداری، قطب علمی مهندسی نقشه‌برداری و مقابله با سوانح طبیعی، پردیس دانشکده‌های فنی دانشگاه تهران، ایران  
<sup>۲</sup> استادیار گروه مهندسی نقشه‌برداری، قطب علمی مهندسی نقشه‌برداری و مقابله با سوانح طبیعی، پردیس دانشکده‌های فنی دانشگاه تهران، ایران  
<sup>۳</sup> فارغ‌التحصیل کارشناسی ارشد ژئودزی، گروه مهندسی نقشه‌برداری، قطب علمی مهندسی نقشه‌برداری و مقابله با سوانح طبیعی، پردیس دانشکده‌های فنی دانشگاه تهران، ایران  
(Dریافت: ۸۵/۵/۲۴ ، پذیرش نهایی: ۸۷/۴/۳)

### چکیده

یکی از مراحل اصلی در محاسبه ژئوئید بدون استفاده از فرمول استوکس، انتقال به سمت پایین مشاهدات جاذبه به سطح بیضوی مبنای است. انتقال به سمت پایین مشاهدات پس از هارمونیک‌سازی، از طریق انتگرال آبل-پواسون و مشتقات آن صورت می‌گیرد. این انتگرال یک انتگرال فردھولم نوع اول است که مجھول (پتانسیل جاذبه هارمونیک روی بیضوی مبنای) در زیر علامت انتگرال قرار دارد. تعیین این مجھول از راه معادله انتگرالی یاد شده، یک مسئله ناپایدار دیگر، یافتن جواب، نیازمند پایدارسازی است. یکی از مهم‌ترین مراحل در هر روش پایدارسازی، تعیین پارامتر پایدارسازی است. در این مقاله به بررسی روش‌های متفاوت تعیین پارامتر پایدارسازی برای مسئله انتقال به سمت پایین مشاهدات از نوع شتاب جاذبه تفاضلی در محاسبه تعیین ژئوئید بدون استفاده از فرمول استوکس پرداخته شده است. براساس نتایج حاصل، روش "منحنی‌ال (L-curve)" بهترین روش برای تعیین پارامتر پایدارسازی در مسئله پیش‌گفته است.

**واژه‌های کلیدی:** پارامتر پایدارسازی (Regularization)، معادلات انتگرالی، مسئله‌های معکوس، مسئله‌های بدطرح (Ill-posed)، منحنی‌ال (L-curve)، problems

### On the optimum method for estimation of regularization parameter of downward continuation in the problem of geoid computation without Stokes formula

Ardalan, A. A<sup>1</sup>, Safari, A<sup>2</sup>. and Allahtavakoli, Y<sup>3</sup>.

<sup>1</sup>Associate Professor, Department of Surveying and Geomatics Engineering, Center of Excellence in Surveying Engineering and Disaster Prevention, University of Tehran, Iran

<sup>2</sup>Assistant Professor, Department of Surveying and Geomatics Engineering, Center of Excellence in Surveying Engineering and Disaster Prevention, University of Tehran, Iran

<sup>3</sup>Graduate student of Geodesy, Department of Surveying and Geomatics Engineering, Center of Excellence in Surveying Engineering and Disaster Prevention, University of Tehran, Iran

(Received: 15 Aug 2006 , Accepted: 23 Jun 2008)

### Abstract

One of the main steps within the geoid computation methodology without applying the Stokes formula is downward continuation of the harmonic residual observables from the surface of the Earth down to the surface of the reference ellipsoid. This downward continuation is done via the Abel-Poisson integral and its derivatives. This integral in which the unknowns, i.e. harmonic residual potential values on the surface of the

reference ellipsoid, are under integral sign, is a Fredholm integral equation of the first kind. Solution of the aforementioned integral equation is an unstable problem and like any unstable problem requires regularization. One of the most important issues of every regularization method is estimation of the regularization parameter.

The aim of this paper is the comparison of different methods for estimation of the regularization parameter of the Tikhonov regularization method when applied to the downward continuation of incremental gravity observables for the geoid computation without applying the Stokes formula. For this purpose, the following regularization parameter selection methods, which are free from the knowledge of norm of vector of observation errors, are considered: (i) Discrepancy Principle (DP), (ii) Generalized Cross-Validation (GCV), (iii) L-Curve (LC), and (iv) flattest Slope (FS). Each regularization parameter estimation method has its own concept for identification of optimum regularization parameter and as such they can result in different regularization parameters for the same problem. For example, in the DP method, the optimum regularization parameter is selected in a way that the estimated factor variance is less sensitive to the variations of the regularization parameters. In the GCV method, the optimum regularization parameter is the one that is less sensitive to the reduction of input information. LC makes a balance between regularization of the solution and the introduced error by the regularization. In FS, the estimation of optimum regularization parameter is based on having the least changes in the solution of the problem vs. changes of the regularization parameter.

The aforementioned methods are applied to: (i) the real data for geoid computation without applying the Stokes formula in a geographical region of Iran ( $43.5^{\circ}\text{E} < \lambda < 64.5^{\circ}\text{E}$ ,  $23.5^{\circ}\text{N} < \varphi < 40.5^{\circ}\text{N}$ ) based on a methodology, which algorithmically consists of remove, downward continuation using ellipsoidal Abel-Poisson integral, restore, and application of ellipsoidal Bruns formula, and (ii) a simulation which is designed for the same geographical area.

According to the simulation study the LC method results in (i) least relative error, (ii) Largest Effective Number of Degree of Freedom and (iii) closest regularization parameter to the actual one. Therefore, it can be concluded that LC amongst the tested methods for the estimation of regularization parameter, is the most efficient one and its application is recommended for the geoid computation methodology without applying the Stokes formula.

**Key words:** Regularization parameter, Integral equations, Inverse problems, Ill-posed problems, L-Curve

## ۱ مقدمه

در رابطه (۱)،  $h$  و  $g$  توابع معلوم،  $f$  تابع مجهول و  $\lambda$  پارامتر ثابت (بنقش یک مقدار ویژه به طور معمول) و  $k$  هسته (Kernel) معادله انتگرالی است. در رابطه (۱) اگر  $h(x) = 0$  باشد، معادله انتگرال را معادله انتگرال فردھولم نوع اول و اگر  $h(x) = 1$  باشد معادله انتگرال از نوع فردھولم نوع دوم و در هر حالت اگر  $g(x) = 0$

امروزه بسیاری از علوم کاربردی از راه معادلات انتگرالی به حل مسائل خود می‌پردازند. یک معادله انتگرالی، معادله‌ای است که در آن تابع مجهول، زیر علامت انتگرال قرار دارد. یکی از انواع معادلات انتگرالی، معادله انتگرال خطی است که آن را می‌توان به صورت زیر نوشت:

$$\lambda \int_a^b k(x,y) f(y) dy + g(x) = h(x) f(x) \quad (1)$$

خروجی بر مبنای اطلاعات ورودی و مشخصات دستگاه را "مدل‌سازی"، "شبیه‌سازی"، و یا "حل مسئله مستقیم" نام‌گذاری کرده‌اند. در مقابل استفاده از نتایج و مشاهدات برای یافتن پارامترهای مشخص کننده دستگاه را مسئله وارون می‌نامند راسموسن (۲۰۰۱). با این دید کلیه معادلات انتگرالی، مسائلی وارون محسوب می‌شوند. مسئله مرزی دیریخله از نوع بیضوی که به صورت زیر قابل تعریف است را می‌توان به مثالی از "مسائل انتگرالی" یا "مسائل وارون" به شمار آورد:

روی سطح بیضوی  $E_{\eta_0}^2$ ، تابع پیوسته  $f(\lambda, \phi)$  برای همه مقادیر  $\lambda \in [0, 2\pi]$  و  $\phi \in [-\pi/2, \pi/2]$  داده شده است، تابع مجهول  $U(\lambda, \phi, \eta)$  در خارج از مرز  $E_{\eta_0}^2$  را چنان باید که شروط زیر برقرار شوند:

$$\begin{aligned} (a) \quad & \Delta U = 0, \\ (b) \quad & \lim_{\eta \rightarrow \infty} U = 0, \\ (c) \quad & \lim_{\eta \rightarrow \eta_0} U = f(\lambda, \phi) \end{aligned} \quad (3)$$

جواب مسئله مقدار مرزی دیریخله به شکل زیر است اردلان (۱۹۹۹):

$$\begin{aligned} U(\lambda, \phi, \eta) = & \sum_{p=0}^{\infty} \sum_{q=0}^p \left[ \iint_{E_{\eta_0}^2} \frac{w(\phi')}{S} \cdot Y_{pq}^c(\lambda, \phi) \cdot \right. \\ & f(\lambda', \phi') d\sigma \frac{Q_{pq}(i \sinh \eta)}{Q_{pq}(i \sinh \eta_0)} \cdot \\ & P_{pq}(\sin \phi') \cos q\lambda' + \iint_{E_{\eta_0}^2} \frac{w(\phi')}{S} \cdot \\ & Y_{pq}^s(\lambda, \phi) f(\lambda', \phi') d\sigma \frac{Q_{pq}(i \sinh \eta)}{Q_{pq}(i \sinh \eta_0)} \cdot \\ & \left. P_{pq}(\sin \phi') \sin q\lambda' \right] \end{aligned} \quad (4)$$

در رابطه فوق  $\lambda'$  و  $\phi'$  متغیرهای انتگرال‌گیری هستند. با تعریف عبارات زیر:

$$\begin{aligned} Y_{pq}^c(\lambda', \phi') &= P_{pq}(\sin \phi') \cos q\lambda' \\ Y_{pq}^s(\lambda', \phi') &= P_{pq}(\sin \phi') \sin q\lambda' \end{aligned} \quad (5)$$

باشد، معادله انتگرالی را همگن می‌خوانند بیکر (۱۹۷۷). انتگرال فردھولم نوع اول را می‌توان به شکل عمومی زیر نوشت:

$$g = Kf, \quad K: H_1 \rightarrow H_2 \quad (2)$$

که در آن  $H_1$  و  $H_2$  فضاهای هیلبرت،  $f$  تابع مجهول،  $g$  تابع معلوم و  $K$  عملگر انتگرالی است. عملگر well-posed or  $K: H_1 \rightarrow H_2$  را خوش‌طرح (properly posed) گوییم، چنانچه شرایط زیر برقرار باشد هانسن (۱۹۹۶)، تیخونوف و آرسنین (۱۹۷۷):

۱. جواب وجود داشته باشد یعنی  $(K(g)) \in R(K)$  متعلق به برد  $K$  باشد.

۲. جواب یکتا باشد (یکتا بی جواب).

۳. جواب تابع پیوسته‌ای از مشاهدات باشد یعنی  $K^{-1}: H_2 \rightarrow H_1$  پیوسته باشد (پایداری جواب).

چنانچه هر کدام از این شرایط نقض شود مسئله را Ill-posed گوییم. مفهوم مسائل بدطراح (problems) به کارهای آدامار (Hadamard) برمی‌گردد آدامار (۱۹۲۳). چنانچه تابع هسته  $k(x, y)$  در معادله انتگرال فردھولم نوع اول یک تابع مربع-انتگرال‌پذیر (square-integrable) باشد یا به عبارت دیگر در شرطی موسوم به شرط هیلبرت-اشمیت صدق کند عملگر  $K$  عملگری فشرده خواهد بود هانسن (۱۹۹۶)، اشتاکگولد (۱۹۷۹). در مسئله انتقال به سمت پایین، هسته آبل-پواسون مربع-انتگرال‌پذیر و متقارن است (اردلان، ۱۹۹۹). بنابراین انتگرال آبل-پواسون یک معادله انتگرال فردھولم نوع اول با عملگر فشرده است. در مورد عملگرهای فشرده قضیه مشهور زیر وجود دارد اشتاکگولد (۱۹۷۹):

**قضیه:** اگر  $K$  یک عملگر کراندار فشرده و وارون‌پذیر باشد و روی فضایی با بعد نامتناهی تعریف شده باشد، در آن صورت وارون آن، یعنی  $K^{-1}$ ، ناپیوسته است.

یک مسئله فیزیکی از سه جزء ورودی (مشاهدات)، دستگاه و مجھولات تشکیل یافته است. به دست آوردن

(۱) خطی کردن مشاهدات جاذبه از انواع گوناگون (اختلاف پتانسیل از شبکه‌های ترازیابی درجه ۱)، نرم شتاب جاذبه از گرانی‌سنگی با حذف اثرات جرم‌های خارج بیضوی مبنای (۲) تشکیل معادلات انتگرالی از نوع فردھولم نوع اول از راه انتگرال آبل-پواسون و مشتقات آن (۳) حل معادله انتگرالی تشکیل داده شده (۴) افزودن اثرات حذف شده به پتانسیل تفاضلی حاصل روی بیضوی (۵) استفاده از فرمول بروزنر بیضوی و (۶) تعیین ژئوئید است. از آنجایی که معادله‌های انتگرالی تشکیل داده شده ناپایدار است، یافتن جواب آنها مستلزم پایدارسازی است. پایدارسازی مسائل بدهنگار را می‌توان به روش‌های گوناگون به انجام رساند. موقفيت هر کدام از روش‌های پایدارسازی بستگی مستقیم به برآورد پارامتر پایدارسازی دارد. در این مقاله، هدف یافتن بهترین روش برآورد پارامتر پایدارسازی در حل معادله انتگرالی موجود در تعیین ژئوئید بدون استفاده از فرمول استوکس است.

تاکنون مسئله انتقال به سمت پایین به صورت گسترده‌ای از سوی جامعه ژئودزی، در حل مسائل معکوس مربوطه، بررسی شده است، از جمله این فعالیت‌ها می‌توان به هوانگ (۲۰۰۲)، ایلک (۱۹۹۳)، کوش و کلس (۲۰۰۲)، مارتینک (۱۹۹۶)، نواک و هک (۲۰۰۲)، نواک و همکاران (۲۰۰۱)، روت (۱۹۹۲)، رومل و همکاران (۱۹۷۹)، اشتایدر (۱۹۹۷)، شوارتز (۱۹۷۹، ۱۹۷۳)، ونیچک و همکاران (۱۹۹۶) و ونگ (۲۰۰۰) اشاره کرد.

با توجه به این واقعیت که در عمل، اطلاع از اندازه خطای مشاهدات  $\|e\|_2$  ممکن است در اختیار نباشد، در این مقاله به ارائه چهار روش تعیین پارامتر پایدارسازی پرداخته شده که مستقل از آگاهی از نرم خطای مشاهدات ( $\|e\|_2$ ) هستند. این روش‌ها عبارت‌اند از: اصل اختلاف (DP) (discrepancy principle)، تأیید-متقابل (generalized cross-(GCV))، تعمیم‌یافته (validation) و منحنی ال (L-curve) و هموارترین

رابطه (۴) را می‌توان به صورت زیر نوشت:

$$U(\lambda, \phi, \eta) = \sum_{p=0}^{\infty} \sum_{q=0}^p \left\{ \frac{Q_{pq}(i \sinh \eta)}{Q_{pq}(i \sinh \eta_0)} \right. \\ \times \left[ \iint_{E_{\eta_0}^2} \frac{w(\phi')}{S} \cdot Y_{pq}^c(\lambda, \phi) Y_{pq}^c(\lambda', \phi') \right. \\ \times f(\lambda', \phi') d\sigma + \iint_{E_{\eta_0}^2} \frac{w(\phi')}{S} \cdot Y_{pq}^s(\lambda, \phi) \\ \times Y_{pq}^s(\lambda', \phi') f(\lambda', \phi') d\sigma \left. \right\} \quad (6)$$

با تعویض علامت سیگما و انتگرال خواهیم داشت:

$$U(\lambda, \phi, \eta) = \iint_{E_{\eta_0}^2} \left\{ \sum_{p=0}^{\infty} \sum_{q=-p}^p \frac{Q_{pq}(i \sinh \eta)}{Q_{pq}(i \sinh \eta_0)} \right. \\ \times \frac{w(\phi')}{S} \left[ Y_{pq}^c(\lambda, \phi) Y_{pq}^c(\lambda', \phi') \right. \\ \left. + Y_{pq}^s(\lambda, \phi) Y_{pq}^s(\lambda', \phi') \right] f(\lambda', \phi') d\sigma \quad (7)$$

رابطه فوق جواب مسئله مقدار مرزی دیریخله در مختصات بیضوی  $\{\lambda, \phi, \eta\}$  است، که می‌توان آنرا به شکل زیر نیز نوشت:

$$U(\lambda, \phi, \eta) = \iint_{E_{\eta_0}^2} \frac{w(\phi')}{S} \sum_{p=0}^{\infty} \sum_{q=-p}^p \frac{Q_{p|q|}(i \sinh \eta)}{Q_{p|q|}(i \sinh \eta_0)} d\sigma \\ \times e_{pq}(\lambda', \phi') e_{pq}(\lambda, \phi) f(\lambda', \phi') \\ = \iint_{E_{\eta_0}^2} K(\lambda, \phi, \eta; \lambda', \phi', \eta_0) f(\lambda', \phi') d\sigma \quad (8)$$

رابطه انتگرالی به دست آمده را انتگرال آبل-پواسون می‌نامند، که در آن هسته به شکل زیر است:

$$K(\lambda, \phi, \eta; \lambda', \phi', \eta_0) = \frac{w(\phi')}{S} \sum_{p=0}^{\infty} \sum_{q=-p}^p \frac{Q_{p|q|}(i \sinh \eta)}{Q_{p|q|}(i \sinh \eta_0)} \\ \times e_{pq}(\lambda', \phi') e_{pq}(\lambda, \phi) \quad (9)$$

تعیین ژئوئید به روش ارائه شده اردلان و گرافارند (۲۰۰۴) و بسط داده شده آن توسط صفری و همکاران (۲۰۰۵) شامل مراحل زیر است:

مقادیر قطر اصلی  $\Sigma$ ، مقادیر منفرد ماتریس  $A$  و نسبت  $\sigma_i/\sigma_n$  عدد شرط ماتریس نامیده می‌شود. از روابط  $AA^T = U\Sigma\Sigma^T U^T$  و  $A^T A = V\Sigma^T \Sigma V^T$  نتیجه گرفت که ماتریس  $A$  به شدت به تجزیه مقادیر ویژه ماتریس‌های  $A^T A$  و  $AA^T$  وابستگی، یکتاً تجزیه مقادیر منفرد را نشان می‌دهد که از یکتاً تجزیه مقادیر ویژه ماتریس‌های متقابل قابل استنتاج است.

مسائل بسط طرح گستته عموماً دارای دو مشخصه اصلی در ارتباط با تجزیه مقادیر منفرد زیرند:

۱. مقادیر منفرد به تدریج بدون گستشتگی به سمت صفر میل می‌کنند و افزایش ابعاد  $A$ ، تعداد مقادیر منفرد کوچک را افزایش می‌دهد.
۲. در حالی که  $\sigma_i$  با افزایش انداش کاهش می‌یابد بردارهای منفرد  $v_i, u_i$  با افزایش  $i$  مرتباً تغییر علامت می‌دهند.

همچنین با توجه به روابط (۱۱) و (۱۲) روابط زیر حاصل می‌شود:

$$\begin{cases} Av_i = \sigma_i u_i & \|Av_i\|_2 = \sigma_i \\ A^T u_i = \sigma_i v_i & \|A^T u_i\|_2 = \sigma_i \end{cases} \quad i = 1, 2, \dots, n \quad (14)$$

با توجه به مطالب ذکر شده، در بخش بعدی تجزیه مقادیر منفرد در حل مسائل بسط طرح را مرور خواهیم کرد.

## ۲-۱ بسط مقادیر منفرد (expansion)

یک مثال کلاسیک از مسائل بسط طرح معادله انتگرال فردھولم (Fredholm) نوع اول با هسته مریع-انتگرال پذیر است که قبلاً با فرمول (۱) بیان شد. این فرمول را مجدداً به شکل زیر می‌نویسیم تا به این طریق انتگرال (۱) به

شیب (flattest slope (FS)). یکی از ابزارهای رفتار با مسائل بسط طرح تجزیه به مقادیر منفرد است که در بخش بعد بدان پرداخته خواهد شد.

## ۱-۱ تجزیه مقادیر منفرد (decomposition)

اگر معادله گستته شده مسئله بسط طرح  $g = Kf$  به صورت زیر باشد:

$$Ax = b \quad A \in \mathbb{R}^{m \times n}, \quad x \in \mathbb{R}^n, \quad b \in \mathbb{R}^m \quad (10)$$

آنگاه یکی از ابزارهای کار با این مسئله، روش "تجزیه مقادیر منفرد" ماتریس  $A$  است. روش تجزیه مقادیر منفرد همه مشکلات مربوط به ماتریس بسط طرح گستته  $A$  را آشکار خواهد ساخت. ماتریس مستطیلی یا مربعی  $A_{mn}$  را در نظر بگیرید. برای سهولت فرض کنید که  $m \geq n$  باشد. در این صورت تجزیه مقادیر منفرد ماتریس  $A$  به صورت زیر خواهد بود:

$$A_{mn} = U_{mn} \Sigma_{mn} V_{mn}^T = \sum_{i=1}^n u_i \sigma_i v_i^T \quad (11)$$

در معادله فوق و  $U_{mn} = (u_1, u_2, \dots, u_m)$  فوق ماتریس‌های با ستون‌های  $V_{mn} = (v_1, v_2, \dots, v_n)$  یکامتعامد (ارتونزمال) هستند،

$$\begin{aligned} V^T V &= I_{nn} \\ U^T U &= I_{mm} \end{aligned} \quad (12)$$

ستون‌های ماتریس‌های  $U$  و  $V$  را به ترتیب بردارهای منفرد چپ و راست ماتریس  $A$  می‌نامند هانسن (۱۹۹۸). ماتریس  $\Sigma_{mn} = [\delta_{ij}\sigma_i]$  که در آن  $\delta_{ij}$  تابع کرونکر و  $1 \leq i \leq m$  و  $1 \leq j \leq n$  است، یک ماتریس قطری با عضوهای قطر اصلی غیر منفی است و عضوهای آن دارای ترتیب زیرند:

$$\sigma_1 \geq \sigma_2 \geq \dots \geq \sigma_n \geq 0 \quad (13)$$

می‌یابیم که سه‌تایی  $\{\sigma_i, u_i, v_i\}$  مشخصه یکتا و لاینک هسته داده شده  $k$  است. از طرفی مهم‌ترین رابطه بین مقادیر منفرد و توابع منفرد به صورت زیر است:

$$\begin{aligned} K(v_i) &= \sigma_i u_i \\ K^*(u_i) &= \sigma_i v_i \end{aligned} \quad (18)$$

این رابطه نشان می‌دهد که توابع منفرد  $v_i$  و  $u_i$  با عملگرهای  $K$  و  $K^*$  به یکدیگر نگاشته شده و مقادیر منفرد  $\sigma_i$  مقیاس این نگاشتها است. پس با توجه به روابط (۱۵/۱) و (۱۸) و "نظریه طیفی برای عملگرهای متقارن فشرده" (spectral theorem for compact self-adjoint operators) راسون (۲۰۰۱) و فرض  $g \in R(K)$

$$\begin{aligned} \sum_{i=1}^{\infty} (\langle \sigma_i | v_i | f \rangle - \langle u_i | g \rangle) u_i &= 0 \\ \Rightarrow \langle v_i | f \rangle &= \frac{\langle u_i | g \rangle}{\sigma_i} \\ \Rightarrow f &\approx \sum_{i=1}^{\infty} \frac{\langle u_i | g \rangle}{\sigma_i} v_i \end{aligned} \quad (19)$$

با تحلیل ضرایب  $\langle u_i | g \rangle / \sigma_i$  می‌توان به طور کامل جواب  $f$  را بررسی کرد. بدین منظور در ادامه، شرط پیکار (Picard) را که امکان بررسی وجود جواب مسئله بدطرح ارائه شده را فراهم می‌آورد، معرفی خواهیم کرد.

### ۳-۱ شرط پیکار

با توجه به مبحث قبل و نامساوی بسل داریم:

$$\sum_{i=1}^{\infty} \left| \frac{\langle u_i | g \rangle}{\sigma_i} \right|^2 \leq \|f\|_2^2 \quad (20)$$

از آنجا که  $f \in L_2(\Omega)$ ، پس بایستی تابع  $g$  در رابطه زیر صدق کند:

$$\lim_{n \rightarrow \infty} |\sigma_n^{-1} \langle u_n | g \rangle| = 0 \quad (21)$$

صورت کلی‌تر در ناحیه  $\Omega$  با متغیرهای " $\bullet$ " و " $\circ$ " تعریف شود:

$$\int_{\Omega} k(\bullet, \circ) f(\circ) d\Omega = g(\bullet) \quad \bullet, \circ \in \Omega \quad (15)$$

یا به صورت کلی‌تر می‌توان تابع  $g$  را حاصل اعمال عملگر  $K$  روی تابع  $f$  به شکل زیر در نظر گرفت:

$$K(f) = g \quad (15/1)$$

که در آن

$$\begin{aligned} K : L_2(\Omega) &\rightarrow L_2(\Omega) \\ K(f) &= \langle k(\bullet, \circ) | f \rangle \end{aligned} \quad (15/2)$$

تابع  $g$  و هسته  $k$  توابعی معلوم‌اند، در حالی که  $f$  مجهول و هدف نیز یافتن آن است. اگر برای هسته  $k$  داشته باشیم:

$$k \in L_2(\Omega \times \Omega) \quad (16)$$

آنگاه عملگر  $K$  یک عملگر هیلبرت-اشمیت و در پی آن یک عملگر فشرده خواهد بود. در عمل در بسیاری از مواقع هسته  $K$  به طور دقیق با یک مدل ریاضی مشخص می‌شود در حالی که تابع  $g$  با یک دقت معلوم و به طور منفصل در ناحیه محدودی در دست است. برای حل معادلات انتگرالی فردھولم نوع اول روش بسط مقادیر منفرد ممتازترین ابزار تحلیلی است (هانسن، ۱۹۹۸). با استفاده از بسط مقادیر منفرد هر هسته هیلبرت اشمیت به صورت مجموع زیرنوشته شود (هانسن، ۱۹۹۸):

$$k(\bullet, \circ) = \sum_{i=1}^{\infty} \sigma_i u_i(\bullet) v_i(\circ) \quad (17)$$

توابع  $u_i$  و  $v_i$  توابع منفرد و همچنین ضرایب  $\sigma_i$  را مقادیر منفرد عملگر  $K$  اند. این مقادیر، غیر منفی بوده و به‌طور غیر صعودی مرتب شده‌اند. دوتایی  $\{\sigma_i^2, v_i\}$  تجزیه مقادیر ویژه عملگر متقارن  $K^*K$  و دوتایی  $\{\sigma_i^2, u_i\}$  تجزیه مقادیر ویژه عملگر متقارن  $K^*K$  است. از این ارتباط بین مقادیر ویژه و تجزیه مقادیر منفرد در

## ۲ نظریه پایدارسازی

همان‌گونه که در بخش قبل مشاهده شد، مشکل حل مسائل بدطراح، همچون معادلات انتگرالی نوع اول، تأمین نشدن شرط پیکار است. لذا چنین فرض می‌شود که برقرار نشدن شرط پیکار در معادله  $Ax = b$  به دلیل وجود  $b^{\text{exact}}$  اغتشاشی همچون  $e$  در مشاهدات است و لذا اگر  $(b^{\text{exact}} \in R(A))$  مقدار دقیق و بدون اغتشاش در طرف راست معادله قرار گیرد، آنگاه مسئله دارای جوابی یکتا به صورت زیر خواهد بود:

$$x^{\text{exact}} = A^{\dagger}(b^{\text{exact}}) = \sum_i \frac{\langle u_i | b^{\text{exact}} \rangle}{\sigma_i} v_i \quad (24)$$

اگر  $b$  مقدار مشاهدات آلوده به اغتشاش  $e$  باشد، آنگاه رابطه زیر برقرار است:

$$\begin{aligned} b &= b^{\text{exact}} + e \\ \Rightarrow \langle u_i | b \rangle &= \langle u_i | b^{\text{exact}} \rangle + \langle u_i | e \rangle \\ \Rightarrow \langle u_i | b \rangle &= \left( 1 + \frac{\langle u_i | e \rangle}{\langle u_i | b^{\text{exact}} \rangle} \right) \langle u_i | b^{\text{exact}} \rangle \\ \Rightarrow \langle u_i | b^{\text{exact}} \rangle &= \left( \frac{\langle u_i | b^{\text{exact}} \rangle}{\langle u_i | b^{\text{exact}} \rangle + \langle u_i | e \rangle} \right) \langle u_i | b \rangle \\ \Rightarrow x^{\text{exact}} &= \sum_i \frac{\langle u_i | b^{\text{exact}} \rangle}{\sigma_i} v_i = \sum_i f_i \frac{\langle u_i | b \rangle}{\sigma_i} v_i \end{aligned} \quad (25)$$

در اصطلاح به ضرایب  $f_i$  ضرایب فیلتر (filter coefficients) گفته می‌شود. تعیین ضرایب  $f_i$  و متعاقباً تعیین جواب دقیق مسئله مستلزم داشتن اطلاعاتی دقیق از مشاهدات و اغتشاشات آن است. از این رو روش‌های پایدارسازی، مجموعه‌ای از فن‌ها به شمار می‌روند که به کمک آنها با در نظر گرفتن فرضیاتی برای اغتشاشات مشاهدات، ضرایب فیلتر تعیین و جواب بهینه و پایدار برای مسائل بدطراح به صورت زیر تعیین می‌شود:

در اصطلاح به این شرط که معادل شرط  $g \in R(K)$  است، شرط پیکار اطلاق می‌شود. چنانچه معادله انتگرال را به شکل گسته در آوریم، هیچ شرط پیکاری وجود نخواهد داشت، چرا که در حالت گسته نرم جواب، همواره متناهی است. در این حالت می‌توان شرط پیکار را به صورت دیگری تعریف کرد که بدان خواهیم پرداخت. همچنین در مسائل واقعی سمت راست معادله با خطای اندازه‌گیری همراه است. از این رو بردار مشاهدات  $b$  را می‌توان به صورت زیر نوشت:

$$b = b^{\text{exact}} + e \quad (22)$$

که در آن  $b^{\text{exact}}$  مقدار بدون خطای  $b$  و  $e$  بردار خطای است. می‌توان نشان داد که اگر معادله انتگرال پیوسته در شرط پیکار صدق کند، در این صورت شکل گسته آن نیز در شرط پیکار صدق خواهد کرد. بنابراین چنانچه ضرایب فوریه  $|u_i^T b^{\text{exact}}|$  به طور متوسط سریع تر از مقادیر منفرد  $\sigma_i$  به سمت صفر میل کند، بردار  $b^{\text{exact}}$  در شرط پیکار صدق خواهد کرد. مشکل اساسی در مسائل بدطراح گسته آن است که بردار خطای  $e$  دارای مؤلفه‌های در امتداد بردارهای منفرد چپ  $u_i$  است. مقدار مورد انتظار برای مؤلفه‌های  $e$  با فرض ناریبی و استقلال آن برابر است با:

$$E(|u_i^T e|) = m^{-\frac{1}{2}} E(\|e\|_2^2) \quad i = 1, \dots, n \quad (23)$$

در رابطه فوق  $m$  تعداد مشاهدات است که در رابطه (۱۰) معرفی شد.

بنابراین حتی اگر بردار  $b^{\text{exact}}$  در شرط پیکار صدق کند، از آنجا که ضرایب فوریه  $|u_i^T b|$  تحت تأثیر ضرایب فوریه بردار خطای هستند، لذا برای مقادیر بزرگ  $n$  ضرایب  $|u_i^T b|$  با سرعت کمتری نسبت به مقادیر منفرد  $\sigma_i$  به سمت صفر میل کرده و از شرط پیکار تبعیت نخواهد کرد.

همان طور که در روابط فوق دیده می‌شود، خطای مجهول‌های برآورد شده مشکل بر دو جمله است. جمله اول، خطای ناشی از روش پایدارسازی، و جمله دوم ناشی از وجود اختشاش در داده‌های به کار رفته در برآورد مجهول‌ها است. بنابراین پارامتر بهینه<sup>\*</sup>  $\lambda$ ، پارامتری خواهد بود که باعث تعادل بین جمله‌های اول و دوم شود. شکل ۱ این موضوع را به صورت اجمالی نشان می‌دهد.

تعیین پارامتر پایدارسازی برای مسائل بدهی کار بسیار پیچیده‌ای است چرا که خطاهای پایدارسازی و اختشاش داده‌ها توابعی تغییرات کند از پارامتر پایدارسازی‌اند. لذا در عمل با بررسی تغییرات خطای پایدارسازی و اختشاش مشاهدات تشخیص پارامتر پایدارسازی بهینه دشوار است (هانسن، ۱۹۹۸). این موضوع در شکل ۱ از مسطح بودن بخشی از نمودار که پارامتر پایدارسازی در آن قرار دارد به خوبی نمایان است.

روش‌های تعیین پارامتر پایدارسازی بسته به اطلاعات موجود از نرم خطا  $\|e\|_2$ ، به دو دسته تقسیم می‌شوند:

۱. روشهای مبتنی بر برآوردهای خوب از نرم خطا  $\|e\|_2$ .
۲. روشهایی که نیازی به آگاهی از نرم خطا  $\|e\|_2$  ندارند و در عوض در آنها سعی در استخراج اطلاعات لازم فقط از مشاهدات است.

هنگامی که اطلاعات قابل اطمینان از نرم خطا  $\|e\|_2$  در اختیار باشد، مسلماً می‌بایست از آن اطلاعات استفاده کرد، اما اگر اطلاعی از نرم خطا  $\|e\|_2$  در دست نباشد، آنگاه اختیار کردن یک پارامتر پایدارسازی قابل اطمینان کاری بسیار دشوار خواهد بود. در این مقاله چهار روش تعیین پارامتر پایدارسازی بدون در اختیار داشتن اطلاعاتی از نرم خطا مورد بررسی قرار گرفته است. این روش‌ها عبارت‌اند از: اصل اختلاف (DP)، تأیید- متقابله تعمیم‌یافته (GCV)، منحنی ال (LC) و هموارترین شبیه .(FS)

$$\begin{aligned} \mathbf{x}^{\text{reg}} &= \sum_i f_i^{\text{reg}} \frac{\langle \mathbf{u}_i | \mathbf{b} \rangle}{\sigma_i} \mathbf{v}_i \\ \mathbf{x}^{\text{reg}} &= \mathbf{A}^{\#}(\mathbf{b}) \end{aligned} \quad (26)$$

ضرایب  $f_i^{\text{reg}}$  ضرایب فیلتر پایدارسازی و  $\mathbf{A}^{\#}$  را استراتژی پایدارسازی نامند.

اگر ضرایب فیلتر پایدارسازی  $f_i^{\text{reg}}$  به صورت زیر در نظر گرفته شود:

$$f_i^{\text{reg}} = \frac{\sigma_i^2}{\sigma_i^2 + \lambda^2} \quad (27)$$

آنگاه جواب پایدارشده  $\mathbf{x}^{\text{reg}}$  با ضرایب فوق، جوابی است که تابع زیر را مینیموم می‌کند.

$$J_{\lambda}(\mathbf{x}) = \| \mathbf{A}(\mathbf{x}) - \mathbf{b} \|_2^2 + \lambda^2 \| \mathbf{x} \|_2^2 \quad (28)$$

$$\mathbf{x} \in \mathbf{H}_1, \lambda > 0$$

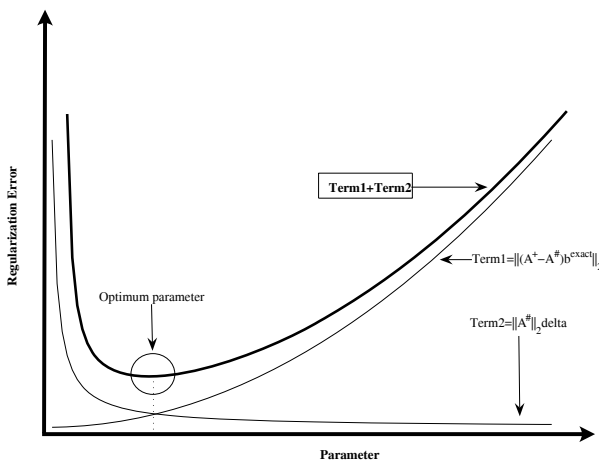
به این روش پایدارسازی، "روش پایدارسازی تیخونوف (Tikhonov)" و به پارامتر  $\lambda$  "پارامتر پایدارسازی تیخونوف" اطلاق می‌شود. این فکر اولین بار از سوی فیلیپس (۱۹۶۲) و تقریباً همزمان از سوی تیخونوف (۱۹۶۳) پیشنهاد شد.

### ۳ پارامتر پایدارسازی

هدف از بهینه‌یابی پارامتر پایدارسازی، یافتن پارامتری است، که بین بایاس (bias) و واریانس جواب تعادل برقرار کند، یعنی با کمترین بایاس، کوچک‌ترین واریانس را به دست دهد. این مطلب را می‌توان از روابط زیر نیز نتیجه گرفت.

با فرض  $\mathbf{x}^{\text{exact}} = \mathbf{A}^{\dagger}(\mathbf{b}^{\text{exact}})$  و کرانداری بردار خطاهای  $\delta$  داریم:

$$\begin{aligned} \|\mathbf{x}^{\text{exact}} - \mathbf{x}_{\text{reg}}\| &= \|\mathbf{A}^{\dagger}\mathbf{b}^{\text{exact}} - \mathbf{A}^{\#}\mathbf{b}\| \\ &= \|( \mathbf{A}^{\dagger} - \mathbf{A}^{\#} )\mathbf{b}^{\text{exact}} - \mathbf{A}^{\#}\mathbf{e} \| \\ &\leq \|( \mathbf{A}^{\dagger} - \mathbf{A}^{\#} )\mathbf{b}^{\text{exact}} \| + \|\mathbf{A}^{\#}\mathbf{e}\| \\ &\leq \|( \mathbf{A}^{\dagger} - \mathbf{A}^{\#} )\mathbf{b}^{\text{exact}} \| + \|\mathbf{A}^{\#}\| \delta \\ &= \text{Term 1} + \text{Term 2 } \end{aligned} \quad (29)$$



شکل ۱. پارامتر بهینه پایدارسازی، در نقش پارامتری که بین بایاس و واریانس تعادل برقرار می‌کند.

پایدارسازی متناظر با کوچک‌ترین تعداد تکرار  $k$  است، برای آن رابطه زیر برای مرحله تکرار  $k$  برقرار می‌شود:

$$\|Ax_k - b\|_2 \leq \delta_e \quad (32)$$

حال اگر فرض شود که دستگاه معادلات  $Ax^{\text{exact}} = b^{\text{exact}}$  سازگار، و بردار خطای مشاهدات  $e$  دارای امید صفر و ماتریس واریانس-کوواریانس  $\sigma_0^2 I_m$  است، نامساوی  $\|b^{\text{exact}}\|_2 < \|e\|_2 < \|b^{\text{exact}} + \sigma_0 \sqrt{m} e\|_2$  برقرار باشد، آنگاه امید نرم بردار خطای مشاهدات  $x^{\text{exact}}$  برابر با  $x^{\text{exact}} = b^{\text{exact}} + \sigma_0 \sqrt{m} e$  می‌شود و در حالت جامع‌تر، در پایدارسازی "تعیین یافته تیخونوف (generalized Tikhonov)" امید  $\|e\|_2$  برابر  $\sigma_0 \sqrt{m-n+p}$  در منحنی ال کمی از محل نقطه با ماقزیوم انحصار منحرف و در نقطه  $(\|Lx^{\text{exact}}\|_2, \|\sigma_0 \sqrt{m-n+p} e\|_2)$  ظاهر می‌شود (هانسن، ۱۹۹۸). اگر نرم خطای مشاهدات  $\|e\|_2$  از پیش مشخص نباشد، آنگاه با فرض مساوی صفر بودن امید برداری خطای مشاهدات  $e$  و مساوی  $\sigma_0^2 I_m$  بودن ماتریس واریانس-کوواریانس آن، می‌توان با استفاده از کتrol رفتار تابع  $(\lambda)^n$  با تعریف زیر، مقدار  $\sigma_0$  را برآورد کرد:

### ۱-۳ روش "اصل اختلاف (DP)"

از جمله روش‌هایی که می‌تواند هم بر پایه اطلاعاتی از نرم خطای  $\|e\|_2$  و هم مستقل از آن عمل کند، روش اصل اختلاف یا DP است. اگر رابطه  $Ax^{\text{exact}} = b^{\text{exact}}$  بین مشاهدات بدون خطای  $b^{\text{exact}}$  و جواب واقعی مجھولها  $x^{\text{exact}}$  به صورت یک دستگاه معادلات سازگار برقرار و  $\delta$  خطای مشاهدات از رابطه زیر در اختیار باشد:

$$\|b - b^{\text{exact}}\|_2 = \delta_e \quad (30)$$

آنگاه می‌توان پارامتر پایدارسازی بهینه‌ای چون  $\lambda$  یافته به طوری که مجھول‌های برآورده شده  $x_\lambda$  در رابطه زیر صدق کنند:

$$\|Ax_\lambda - b\|_2 = \delta_e \quad (31)$$

روش‌های متفاوتی برای تعیین این پارامتر پایدارسازی وجود دارد. یکی از این روش‌ها، روش منحنی ال است که در صورت استفاده از آن، این پارامتر را می‌توان در نزدیکی خط عمودی منحنی در جایی که بیشترین تغییر انحنا صورت می‌گیرد، یافت. در مورد روش منحنی ال در ادامه به تفصیل توضیح داده خواهد شد. در صورت استفاده از روش تکرار برای پایدارسازی، پارامتر

تعريف می‌شوند:

$$\nu(\lambda) = \frac{\|Ax_\lambda - b\|_2^2}{\tau(\lambda)} \quad (35)$$

$$\tau(\lambda) = \text{trace} \left[ I_m - A \left( A^T A + \lambda^2 I_m \right)^{-1} A^T \right] \quad (36)$$

### ۳-۳ روش "منحنی ال" (LC)

روش منحنی-ال، یکی از روش‌های انتخاب پارامتر پایدارسازی است که در آن نیازی به شناخت  $\|e\|_2$  وجود ندارد. این روش مناسب ترین ابزار گرافیکی برای تجزیه و تحلیل مسائل بدهمراه گستته با استفاده از تغییرات نرم جواب پایدار شده  $\|x_\lambda\|_2$  در مقابل نرم خطای متناظر به آن است. لازم به توضیح است که پایه همه روش‌های پایدارسازی، برقراری تعادل بین پایداری جواب و خطای (بایاس) به وجود آمده تحت تأثیر پارامتر پایدارسازی است، که در این روش به صورت گرافیکی مطرح می‌شود. فرض بینایی در روش منحنی ال آن است که نرم بردار جواب و نرم بردار باقی‌مانده، تابعی از پارامتر پایدارسازی‌اند. این مسئله در مورد همه روش‌هایی که برای پایدارسازی ذکر خواهند شد نیز صادق است.

منحنی ال شامل یک قسمت قائم، یک قسمت با شیب کم در همسایگی این قسمت قائم و یک قسمت افقی است. قسمت افقی متناظر با جواب‌هایی است که پارامتر پایدارسازی بزرگی داشته و جواب تحت الشعاع اغتشاش (بایاس) ناشی از پایدارسازی است. قسمت قائم متناظر به جواب‌هایی است که پارامتر پایدارسازی کوچکی دارد و در نتیجه جواب تحت الشعاع اغتشاش ناشی از خطای مشاهدات e قرار دارد. هنگامی که تغییرات نرم بردار جواب  $\|x_\lambda\|_2$  را در مقابل  $\|Ax_\lambda - b\|_2$  در مقیاس لگاریتمی رسم کنیم، منحنی حاصل غالباً دارای شکلی L گونه با

$$\begin{aligned} \nu(\lambda) &= \frac{\|Ax_\lambda - b\|_2^2}{\tau(\lambda)} \\ \tau(\lambda) &= \text{trace}(I_m - AA^\#) \\ &= m - \sum_{i=1}^n f_i \end{aligned} \quad (33)$$

در رابطه (33)  $\tau(\lambda)$  درجه آزادی مؤثر (number of degree of freedom) دستگاه معادلات بدطريق ناميده می‌شود. اگر تابع  $\nu(\lambda)$  نسبت به  $\lambda^{-1}$  رسم شود، نمودار ترسیمی ابتدا یک روند رو به کاهش را دنبال، در یک ناحیه بحرانی، روندی ثابت را آغاز و پس از آن، در اکثر موارد دوباره یک روند رو به کاهش را طی می‌کند. ناحیه بحرانی را برآورده برای  $\sigma_0$  در نظر گيريم. اين نقطه همان نقطه برآورده برآورده پارامتر بهينه است. به علاوه بدین ترتيب برآورده از نرم بردار خطای مشاهدات  $\|e\|_2$ ، نيز تحت مقدار  $m \times \nu(\lambda)$  در ناحيه ثابت منحنی به دست خواهد آمد.

### ۲-۳ روش "تأثید-متقابل تعمیم یافته" (GCV)

در این روش برای انتخاب پارامتر نیازی به دانستن نرم خطای مشاهدات  $\|e\|_2$  نیست. این روش دارای این خاصیت است که در صورت حذف عضو دلخواه  $b_i$  از بردار مشاهدات  $b$ ، جواب پایدار شده براساس پارامتر پایدارسازی می‌تواند عضو  $b_i$  را بخوبی پيش‌بینی کند. پارامتر پایدارسازی بهينه  $\lambda$  در این روش طوری انتخاب می‌شود که تابع G با تعریف زیر را مینیموم سازد:

$$\begin{aligned} G(\lambda) &= \frac{\|Ax_\lambda - b\|_2^2}{\left[ \text{trace} \left[ I_m - A \left( A^T A + \lambda^2 I_m \right)^{-1} A^T \right] \right]^2} \\ &= \frac{\nu(\lambda)}{\tau(\lambda)} \end{aligned} \quad (34)$$

که در رابطه فوق توابع  $\nu(\lambda)$  و  $\tau(\lambda)$  به صورت زیر

مشاهده شتاب جاذبه اثر میدان مرجع بیضوی تا درجه و مرتبه ۳۶۰ و اثر میدان گریز و اثر جرم‌های در فاصله نزدیک از روی مشاهده شتاب ثقل حذف می‌شود. بعد از حذف این اثرات شتاب جاذبه تقاضلی حاصل می‌شود. کمیت شتاب جاذبه تقاضلی در خارج بیضوی مرجع یک کمیت هارمونیک است که از طریق انگرال آبل-پواسون بیضوی به پتانسیل جاذبه تقاضلی در سطح بیضوی مرجع تبدیل می‌شود. مسئله انتقال شتاب جاذبه تقاضلی از طریق انگرال آبل-پواسون بیضوی به سطح بیضوی مرجع یک مسئله ناپایدار است که باستی پایدار شود (اردلان و گرافارند، ۲۰۰۴). موفقیت هر کدام از روش‌های پایدارسازی بستگی به برآورد پارامتر پایدارسازی دارد. در این بررسی از ۸۴۸۳ داده جاذبه از بانک داده BGI استفاده شده است (شکل ۲). با هدف تعیین پتانسیل جاذبه تقاضلی در یک شبکه‌ای  $20' \times 20'$  روی بیضوی مرجع، تأثیر پارامتر پایدارسازی حاصل از روش‌های متفاوت با یکدیگر مقایسه شده است. ابعاد ماتریس ضرایب مجهول‌ها با توجه به تعداد مشاهدات و مجهول‌ها  $3100 \times 8483$  است. از آنجایی که در این بررسی اطلاعاتی از خطای مشاهدات e در دست نبود، فقط روش‌های پایدارسازی غیر وابسته به این اطلاع مورد ارزیابی قرار گرفت. روش‌های مورد بررسی عبارت‌اند از: FS و GCV, DP, LC. در ابتدا لازم است که بدطراح بودن مسئله و برقراری شرط پیکار مورد بررسی قرار گیرد. می‌توان نشان داد که مسئله فوق بدطراح (Ill-posed) است و در شرط پیکار صدق می‌کند (صفری و الله توکلی، ۱۳۸۷). لذا این مسئله (از راه حل وارون انتگرال آبل-پواسون) دارای جواب است.

**۱-۴ پایدارسازی و تعیین پارامتر پایدارسازی در بررسی موردنی**  
در ابتدا برای تعیین پارامتر بهینه پایدارسازی از منحنی ال

بخشی است که قسمت‌های افقی و قائم آن را از هم جدا می‌سازد. پارامتر بهینه پایدارسازی در این منحنی نقطه  $\kappa(\lambda) = (\log \|Ax_\lambda - b\|_2, \log \|x_\lambda\|_2)$  است که منحنی در آن نقطه دارای حداکثر انحصار است. علت انتخاب این نقطه، برقراری تعادل بین اغتشاش ناشی از پایدارسازی و اغتشاش ناشی از خطای مشاهدات e در آن نقطه است. انحصار  $\kappa$  منحنی ال را می‌توان از رابطه زیر به دست آورد:

$$\kappa(\lambda) = \frac{\rho' \eta'' - \rho'' \eta'}{\left( (\rho')^2 + (\eta')^2 \right)^{3/2}} \quad (37)$$

در رابطه فوق مشتق گیری نسبت به پارامتر پایدارسازی  $\lambda$  صورت می‌گیرد.

**"۴-۳ روش "هموارترین شب (FS)"**  
روش نسبتاً جدیدتر در تعیین پارامتر پایدارسازی، مسائل بدطراح گستته به روش تیخونوف، روش هموارترین شب است که اولین اول بار از سوی "وو WU" ارائه شده است (وو، ۲۰۰۳). در هر مسئله بدطراح تعدادی از جواب‌ها، حساسیت کمتری نسبت به تغییرات پارامتر پایدارسازی دارند. روش هموارترین شب این موضوع را از راه تحلیل منحنی تغییرات  $\log(1/\lambda)$  نسبت  $\|x\|_2$  تعیین برآورد پارامتر بهینه پایدارسازی قرار می‌دهد. بدین صورت که در گراف یادشده، نقطه دارای شب صفر، در حکم پارامتر بهینه انتخاب می‌شود. اگر روی این منحنی بیش از یک نقطه دارای کمترین شب باشد، در آن صورت حل مسئله نیاز به اطلاعات اضافی خواهد داشت.

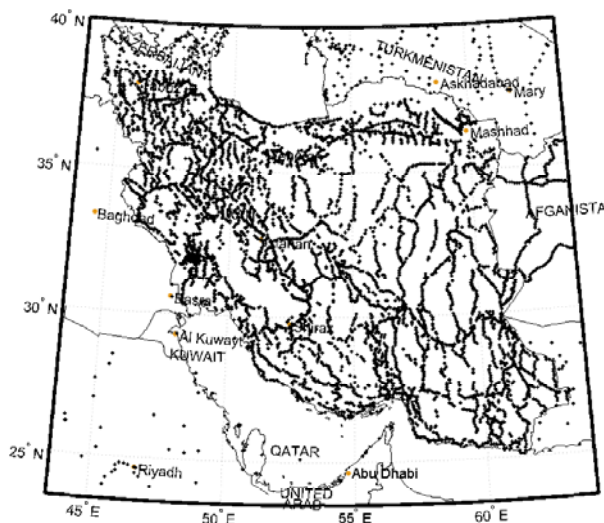
#### ۴ بررسی موردنی براساس داده‌های واقعی

در این بخش تجربه یافتن پارامتر بهینه پایدارسازی در تعیین ژئوئید بدون استفاده از فرمول استوکس در منطقه جغرافیایی ایران ارائه خواهد شد. در تعیین ژئوئید بدون استفاده از فرمول استوکس، به منظور هارمونیک کردن

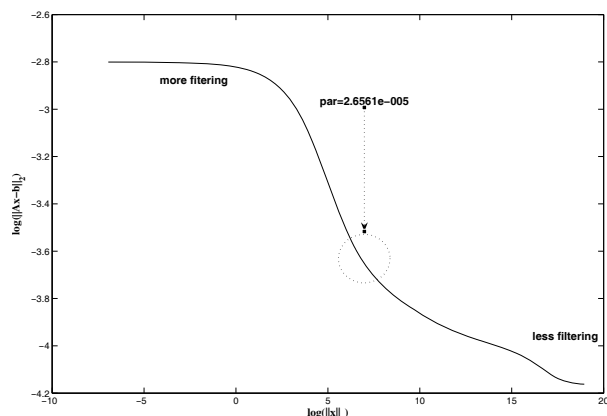
پایدارسازی بهینه براساس این روش در جدول (۱) درج است.

استفاده شد، که نتیجه آن در شکل ۳ ملاحظه می‌شود.

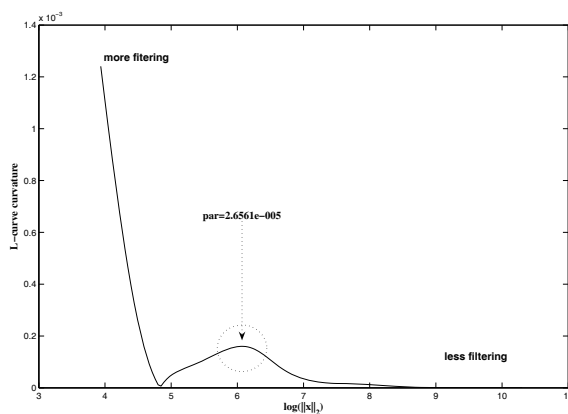
شکل ۴، نمودار تغییرات انحنای منحنی ال است. پارامتر



شکل ۲. موقعیت ایستگاه‌های BGI در منطقه ایران.



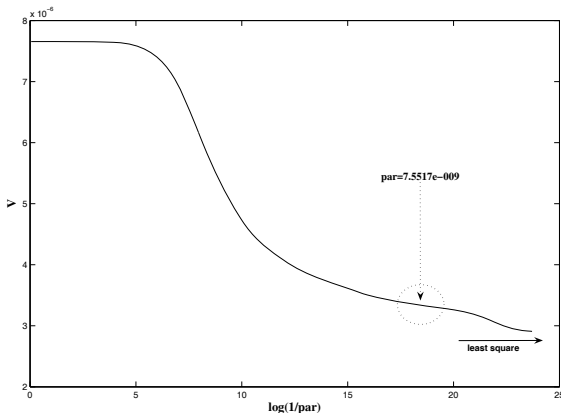
شکل ۳. گراف  $(\log \|x\|_2, \log \|Ax - b\|_2)$



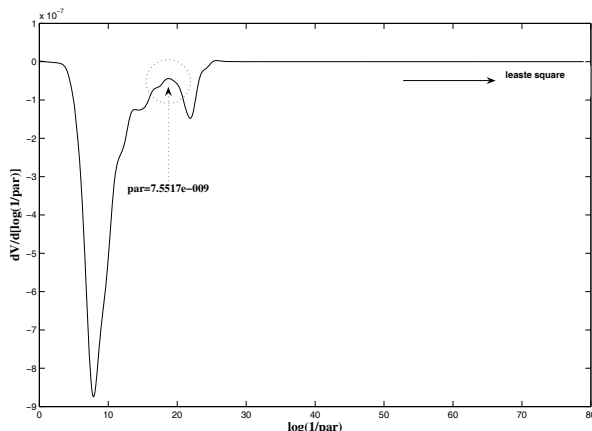
شکل ۴. نمودار انحنای منحنی ال.

شکل نشان‌دهنده نقطه‌ای از منحنی یاد شده است که دارای حساسیت کمتری نسبت به تغییرات  $\lambda$  است. از این راه پارامتر پایدارسازی بهینه در روش DP به دست می‌آید. مقدار این پارامتر نیز در جدول (۱) آورده شده است.

روش دوم در این بررسی موردی، در تعیین پارامتر پایدارسازی، روش DP است. برای این منظور ابتدا نمودار تغییرات  $(\log(\lambda^{-1}), v(\lambda))$  مطابق (شکل ۵) و سپس نمودار تغییرات  $(\log(\lambda^{-1}), \frac{dv}{d(\log(\lambda^{-1}))})$  بر حسب مطابق شکل ۶ رسم شد. محل مشخص شده در این



شکل ۵. روش DP. نمودار تغییرات  $(\log(\lambda^{-1}), v(\lambda))$



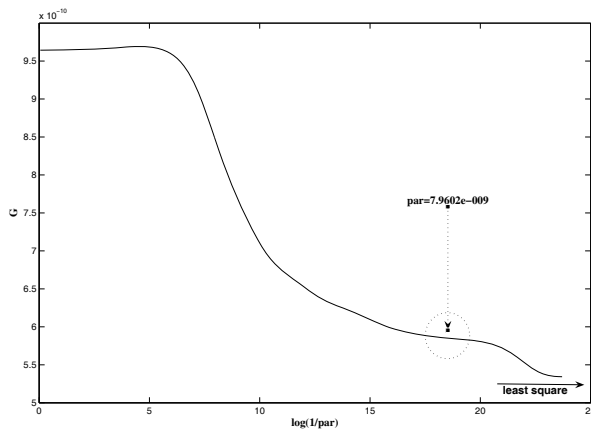
شکل ۶. نمودار تغییرات  $\left( \log(\lambda^{-1}), \frac{dv}{d(\log(\lambda^{-1}))} \right)$

جدول ۱. خلاصه نتایج تعیین پارامتر بهینه پایدارسازی به روش‌های متفاوت در مسئله موردی.

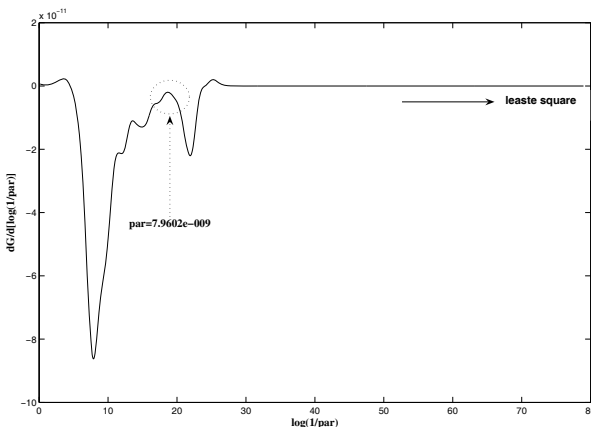
روش	$\lambda$	درجه آزادی مؤثر	$\ x\ _2$
Least Square	0	5383	$1.69 \times 10^8$
FS	$1.77 \times 10^{-11}$	5929.5	$1.01 \times 10^8$
DP	$7.55 \times 10^{-9}$	6214.6	$4.03 \times 10^5$
GCV	$7.96 \times 10^{-9}$	6217.6	$3.84 \times 10^5$
LC	$2.66 \times 10^{-5}$	7050.5	456.33

نقطه مینیموم نسبی این منحنی در حکم پارامتر پایدارسازی با استفاده از نمودار مشتق  $G$  برحسب  $\log(\lambda^{-1})$  (شیب منحنی) مطابق شکل ۸ تعیین شد.

روش سوم مورد آزمایش در تعیین پارامتر پایدارسازی روش GCV است. در این روش ابتدا نمودار تغییرات  $(\log(\lambda^{-1}), G(\lambda))$  مطابق شکل ۷ رسم شد و



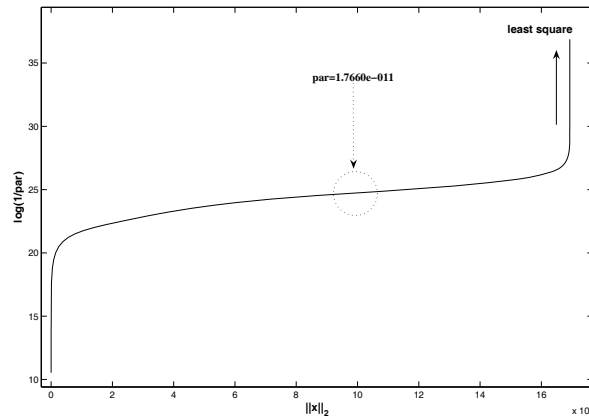
شکل ۷. روش GCV: تغییرات  $(\log(\lambda^{-1}), G(\lambda))$



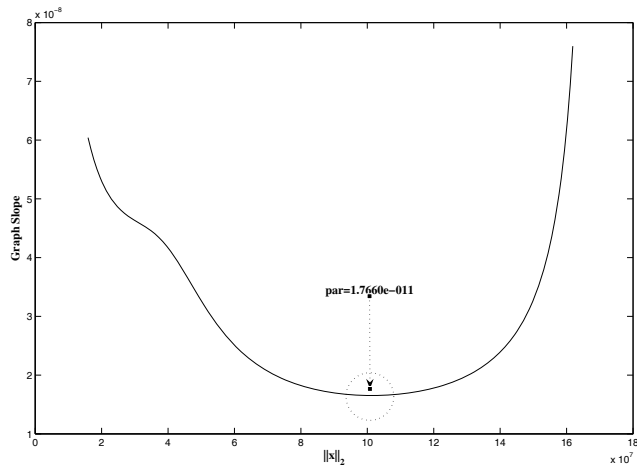
شکل ۸. نمودار تغییرات شیب منحنی  $(\log(\lambda^{-1}), G(\lambda))$

پارامتر پایدارسازی، منحنی تغییرات شیب نمودار  $\left( \|\mathbf{x}\|_2, \log(\lambda^{-1}) \right)$  بر حسب در شکل ۱۰ رسم شد و پارامتر بهینه استخراج و در جدول (۱) قرار داده شد.

روش چهارم مورد بررسی برای تعیین پارامتر پایدارسازی بهینه روش FS است. بدین منظور نمودار تغییرات  $\left( \|\mathbf{x}\|_2, \log(\lambda^{-1}) \right)$  در شکل ۹ رسم شد. برای یافتن جواب با کمترین حساسیت نسبت به



شکل ۹. روش FS گراف  $(\|x\|_2, \log(\lambda^{-1}))$



شکل ۱۰. شب گراف  $(\|x\|_2, \log(\lambda^{-1}))$  در روش FS

دهد. در روش GCV پارامتر بهینه، پارامتری است که حساسیت کمتری نسبت به از دست دادن اطلاعات داشته باشد. در روش FS یافتن پارامتر بهینه پایدارسازی بر اساس، ملاک کمترین تغییرات در جواب واقعی مسئله بر اساس تغییرات پارامتر پایدارسازی است.

در شکل ۱۱ (نمودار سمت چپ) تغییرات درجه آزادی مؤثر ENDF نسبت به پارامتر پایدارسازی و شکل ۱۱ (نمودار سمت راست) تغییرات انحنای نمودار سمت چپ است. همان‌گونه که در شکل ۱۱ (نمودار سمت

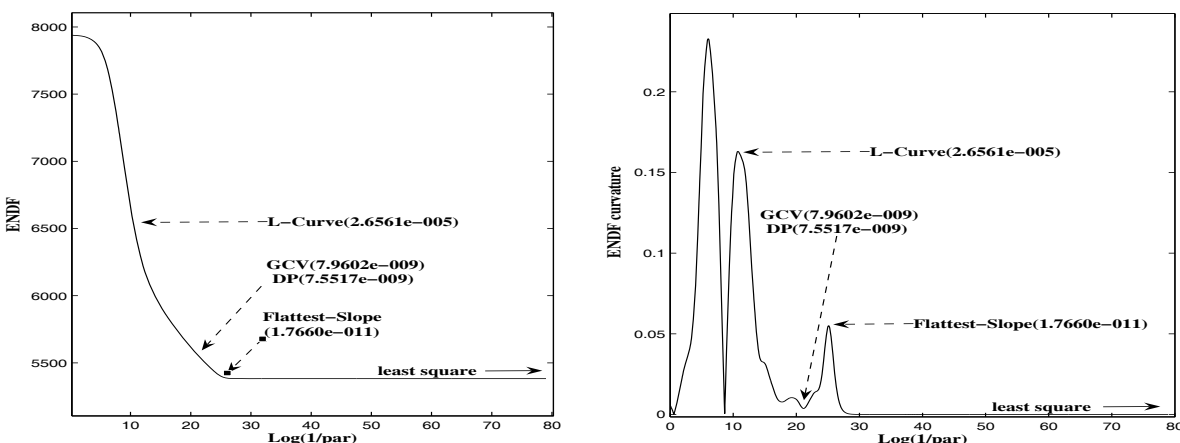
همان‌طور که پیش‌تر نیز ذکر شد، هر یک از این روش‌ها یافتن پارامتر پایدارسازی ملاک خاص خود را به کار می‌برند و بدین لحاظ نمی‌توان در عمل بر اساس روش‌های متفاوت جواب‌های یکسانی را انتظار داشت. برای مثال روش منحنی ال بر پایه ایجاد تعادل بین پایداری جواب و ایجاد بایاس بر اثر پارامتر پایدارسازی استوار است. در روش DP پارامتر بهینه به نحوی اختیار می‌شود که برآورد کننده فاکتور واریانس اولیه مسئله، حساسیت کمتری نسبت به تغییرات پارامتر پایدارسازی از خود نشان

و به این طریق بازه  $(\lambda_{\min}, \lambda_{\max})$  می‌تواند ملاک جستجوی پارامتر بهینه پایدارسازی قرار گیرد، چرا که با توجه به روابط (۱۳) و (۲۷) برای پارامتر خارج از بازه‌ای  $(\lambda_{\min}, \lambda_{\max})$  (یعنی  $(-\infty, \lambda_{\min}) \cup (\lambda_{\max}, +\infty)$ ) یا جوابی برابر صفر به دست آمده و یا جواب خارج از محدوده جواب‌های مورد انتظار (مانند جواب حاصل از روش کمترین مربعات در یک مسئله ناپایدار) خواهد بود. با توجه به ضرایب فیلتر به دست آمده و رابطه (۳۳)، درجه آزادی مؤثر برای پارامترهای  $\sigma_1 \gg \lambda$  برابر تعداد مشاهدات (m) و برای پارامترهای  $\sigma_n \ll \lambda$ ، برابر درجه آزادی روش کمترین مربعات ( $m - n$ ) خواهد بود. بنابراین درجه آزادی مؤثر می‌تواند ملاکی در تعیین محدوده جستجوی پارامتر پایدارسازی قرار گیرد. این موضوع (بازه جستجو) که در شکل ۱۱، به خوبی مشخص است، در همه روش‌های بررسی شده، ملاک جستجو قرار گرفت.

چپ) مشاهده می‌شود با افزایش یافتن پارامتر پایدارسازی، درجه آزادی مؤثر مسئله افزایش می‌یابد. به عبارت دیگر افزایش پارامتر پایدارسازی را می‌توان معادل پایدارشدن مسئله دانست. در نمودار تغییرات انحنای منحنی درجه آزادی مؤثر (شکل ۱۱ سمت راست) مشاهده می‌شود که هر یک از روش‌های تعیین پارامتر جایگاه خاصی در نمودار تغییرات انحنای دارند و درین روش‌های مورد بررسی، روش منحنی L دارای بزرگ‌ترین و روش FS دارای کوچک‌ترین مقدار پارامتر پایدارسازی است.

با توجه به روابط (۱۳) و (۲۷) دیده می‌شود که ضرایب فیلتر برای پارامترهای  $\lambda \ll \sigma_1$  برابر صفر می‌شود و برای پارامترهای  $\sigma_n \ll \lambda$  برابر یک خواهد شد. بنابراین می‌توان دو پارامتر  $\lambda_{\max}$  و  $\lambda_{\min}$  طوری یافت که:

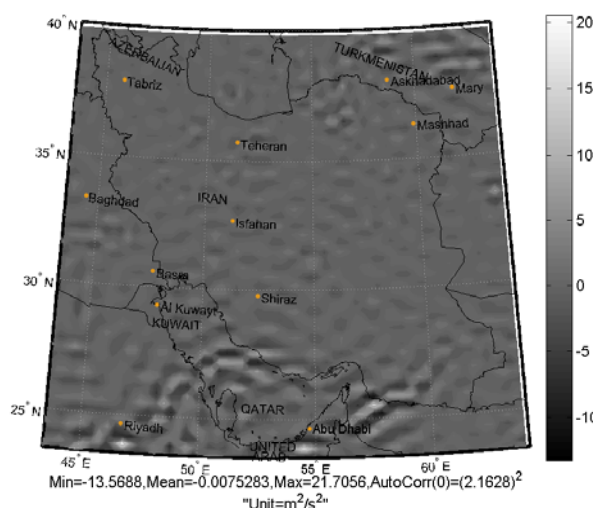
$$\lambda_{\max} \gg \sigma_1 \geq \dots \geq \sigma_n \gg \lambda_{\min} \geq 0 \quad (38)$$



شکل ۱۱. نمودار تغییرات درجه آزادی مؤثر ENDF بر حسب لگاریتم عکس پارامتر پایدارسازی (نمودار سمت چپ) و تغییرات انحنای نمودار یادشده (نمودار سمت راست).

خطای چهار روش مورد بررسی به دست آمد. مدل GPMAR حاصل تلاش و نتیجه (ونسل، ۱۹۹۸) در حکم مدل ژئوپتانسیلی انتخاب شد. این مدل ژئوپتانسیل شامل ضرایب هارمونیک‌های کروی تا درجه و مرتبه ۷۲۰ است. از ضرایب تا درجه و مرتبه ۳۶۰ این مدل در حکم مدل ۷۲۰ جاذبه مرجع استفاده و از حذف این میدان از میدان BGI این مدل، مشاهدات جاذبه تفاضلی در نقاط مشاهده BGI تولید شد. ارتفاع موجود در فایل BGI به این شتاب‌های جاذبه شبیه‌سازی شده نسبت داده شد. سپس مسئله انتقال به سمت پایین این مشاهدات تفاضلی شبیه‌سازی شده، بر اساس حل معکوس انگرال آبل-پواسون گستته بیضوی با بهره‌گیری از چهار روش یاد شده برای پایدارسازی مسئله مورد استفاده قرار گرفت. در انتقال به سمت پایین مطابق بررسی موردنی با مشاهدات واقعی، شبکه  $20' \times 20'$  روی بیضوی مرجع برای تعیین پتانسیل جاذبه تفاضلی در نظر گرفته شد. سپس از راه مدل ژئوپتانسیلی و انتقال به سمت پایین پتانسیل جاذبه روی نقاط شبکه پیش‌گفته تعیین شد. شکل ۱۲ پتانسیل جاذبه تفاضلی حاصل از مدل است.

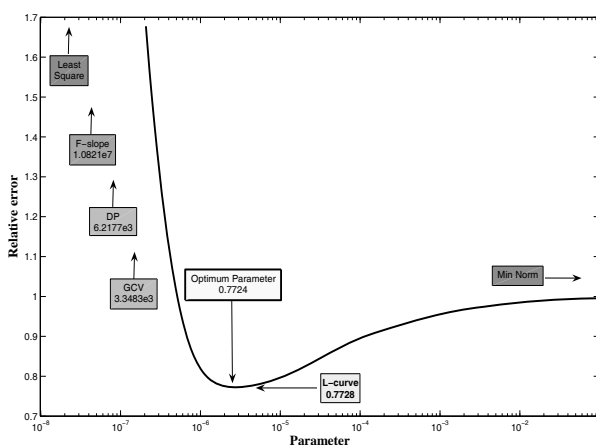
۴-۴ بررسی عددی براساس داده‌های شبیه‌سازی شده تا به اینجا چهار روش برای تعیین پارامتر بهینه پایدارسازی ارائه، و انتقال به سمت پایین شتاب جاذبه تفاضلی در محدوده جغرافیایی ایران برای تعیین ژئوئید بدون استفاده از فرمول استوکس مورد بررسی قرار گرفت. نکته‌ای که تا به اینجا به طور قاطع در مورد آن نمی‌توان تصمیم‌گیری کرد، روش برآورد پارامتر پایدارسازی بهینه، درین چهار روش، در مسئله انتقال به سمت پایین یادشده است. لذا برای پاسخ به این پرسش دست به طراحی یک مسئله شبیه‌سازی شده زدیم. بدین صورت که با استفاده از یک مدل ژئوپتانسیل با درجه و مرتبه زیاد در محل نقاط داده BGI، شتاب جاذبه شبیه‌سازی شده تولید شد. به‌منظور تولید شتاب جاذبه تفاضلی شبیه‌سازی از روی این مشاهدات شتاب جاذبه شبیه‌سازی شده اثر میدان مرجع حذف شد. برای انتخاب بهترین پارامتر پایدارسازی، پتانسیل جاذبه تفاضلی روی سطح بیضوی مرجع به دو طریق محاسبه شد (۱) از راه به کارگیری مستقیم مدل ژئوپتانسیلی و (۲) از راه انتقال به سمت پایین پایدار شده به چهار روش یاد شده. بدین شکل ملاکی برای تعیین



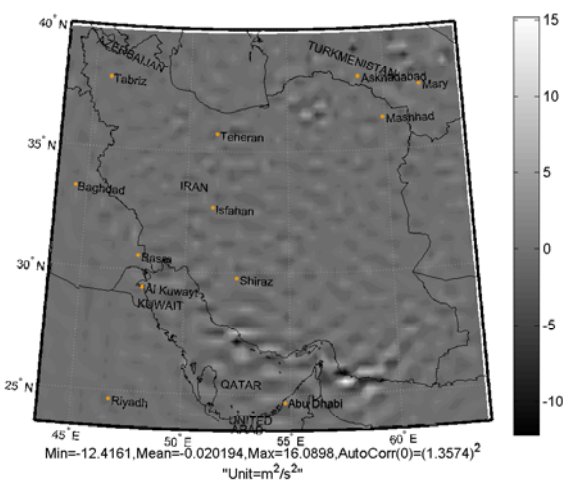
شکل ۱۲. پتانسیل جاذبه تفاضلی روی بیضوی حاصل از مدل.

نسبی را به وجود آورده باشد. این پارامتر با توجه به شکل ۱۳ مقدار  $2.70 \times 10^{-6}$  است، که هیچ کدام از روش‌های بررسی شده برای برآورد پارامتر پایدارسازی بهینه دقیقاً این مقدار را تولید نکرده‌اند، اما روش منحنی ال نزدیک‌ترین برآورد را نتیجه داده است. در جدول (۲) خلاصه نتایج مربوط به این بررسی شبیه‌سازی شده آورده شده است. همچنین نتیجه انتقال به سمت پایین بر اساس روش منحنی ال در شکل ۱۴ ارائه شده است.

به این ترتیب با توجه به معلوم بودن مجھول‌ها (پتانسیل جاذب تفاضلی در شبکه  $20' \times 20'$  روی بیضوی مرجع) از راه مدل، خطای نسبی ( $\|\mathbf{x} - \mathbf{x}^{\text{exact}}\| / \|\mathbf{x}^{\text{exact}}\|$ ) انتقال به سمت پایین با استفاده از چهار روش برآورد پارامتر پایدارسازی بهینه محاسبه شد. این خطاهای نسبی برای چهار روش، در شکل ۱۳ ارائه شده است. به این طریق در بین روش‌های برآورد پارامتر بهینه پایدارسازی برنده روشنی است، که کوچک‌ترین خطای



شکل ۱۳. نمودار خطای نسبی انتقال به سمت پایین بر حسب پارامتر پایدارسازی و جایگاه هر یک از روش‌های به کار رفته در برآورد پارامتر پایدارسازی بهینه.



شکل ۱۴: مجھول‌های تفاضلی برآورده شده را به روش تعیین پارامتر پایدارسازی با معیار منحنی ال با داده‌های شبیه‌سازی شده.

جدول ۲. خلاصه نتایج تعیین پارامتر بهینه پایدارسازی به روش‌های متفاوت در مثال شبیه‌سازی شده.

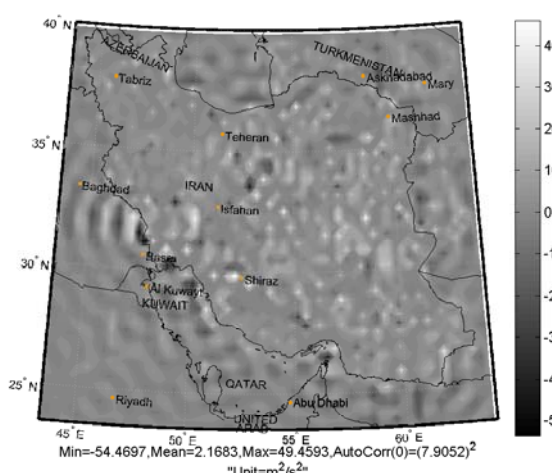
روش	$\lambda$	درجه آزادی موثر	خطای نسبی	$\ x\ _2$
کمترین مربعات	0	5383	$2.20 \times 10^7$	$2.65 \times 10^9$
FS	$2.21 \times 10^{-14}$	5562.1	$1.08 \times 10^7$	$1.30 \times 10^9$
DP	$2.14 \times 10^{-11}$	5936.6	$6.22 \times 10^3$	$7.49 \times 10^5$
GCV	$6.27 \times 10^{-11}$	5980.1	$3.35 \times 10^3$	$4.03 \times 10^5$
LC	$3.15 \times 10^{-6}$	6669.5	0.773	75.57
پارامتر واقعی	$2.70 \times 10^{-6}$	6651	0.772	76.77

### پایدارسازی در انتقال به سمت پایین مسئله تعیین ژئوئید،

بدون استفاده از فرمول استوکس را می‌توان در مقایسه با سه روش تعیین پارامتر دیگر در حکم بهترین روش معروفی و به کارگیری آن را در مسئله تعیین ژئوئید به روش یاد شده توصیه کرد. بدین لحاظ در خاتمه نتیجه انتقال به سمت پایین مشاهدات BGI را با استفاده از روش تعیین پارامتر پایدارسازی منحنی ال برای منطقه جغرافیایی ایران ( $43.5E \leq \lambda \leq 64.5E, 23.5N \leq \phi \leq 40.5N$ ) برای یک شبکه  $20' \times 20'$  روی بیضوی مرجع در شکل ۱۵ در حکم نتیجه نهایی این تحقیق، در بررسی موردی واقعی، ارائه می‌دهیم.

### ۵ بحث و نتیجه‌گیری

از مقایسه نتایج ارائه شده در جدول ۲ برای روش‌های متفاوت پایدارسازی ملاحظه می‌شود که، در مسئله انتقال به سمت پایین تعیین ژئوئید بدون استفاده از فرمول استوکس، روش منحنی ال (LC) کوچک‌ترین خطای نسبی، بزرگ‌ترین درجه آزادی موثر و نزدیک‌ترین پارامتر به پارامتر پایدارسازی واقعی را برآورد کرده است. همچنین از مقایسه شکل‌های ۱۲ و ۱۴ و اطلاعات آماری ارائه شده در این شکل‌ها بیانگر نزدیکی مجھول‌ها برآورده شده به روش LC به مقدار واقعی پارامترهای مجھول است. بنابراین، روش تعیین پارامتر بهینه



شکل ۱۵. پتانسیل جاذبه تفاضلی حاصل از انتقال به سمت پایین مشاهدات جاذبه BGI، واقع در منطقه جغرافیایی ایران به روش منحنی ال، در حکم نتیجه نهایی بررسی موردی واقعی.

## تشکر و قدردانی

بدین وسیله از معاونت پژوهشی دانشگاه تهران به سبب حمایت مالی از این تحقیق در قالب طرح پژوهشی شماره ۸۱۵۱۰۷/۱۰۱ تشكير و قدردانی مى شود.

## منابع

- صفری، ع.، الله توکلی، ی.، ۱۳۸۷، بررسی شرط پیکارد در مسئله انتقال به سمت پایین در تعیین ژئوئید بدون استفاده از روش استوکس، نشریه دانشکده فنی دانشگاه تهران دوره ۴۲ شماره ۳.
- Hadamard, J., 1923, Lectures on Cauchy's Problem in Linear Partial Differential Equations. Yale University Press, New Haven.
- Hanke, M., 1995, Conjugate gradient type methods for ill-posed problems. Pitman Research Notes in Mathematics Series, Longman Scientific & Technical, Harlow, Essex, UK.
- Hansen, P. C., 1990, The discrete Picard condition for discrete ill-posed problems. BIT, **30**, 658-672.
- Hansen, P. C., 1994, Regularization Tools Version 3.1 (for Matlab Version 6.0): A Matlab package for analysis and solution of discrete ill-posed problems. Department of Mathematical Modelling, Technical University of Denmark, 3.1 edn. URL <http://www.imm.dtu.dk/~pch/Regutools/index.html>.
- Hansen, P. C., 1996, Rank-Deficient Discrete ill-posed problems. Doctoral Dissertation Department of mathematical modeling, building 305, Technical University of Denmark, DK-2800 Lyngby Denmark.
- Hansen, P. C., 1998, Rank-deficient and discrete ill-posed problems. SIAM lecture notes, Philadelphia.
- Hestenes, M. R., and Stiefel, E., 1952, Methods of conjugate gradients for solving linear system, J. Res. Bur Standards, **49**, 409-436.
- Hoerl, A., and Kennard, R., 1970, Ridge regression: biased estimation for nonorthogonal problems. Technometrics, **12**, 55-67.
- Hofmann, B., 1993, On the ill-posedness of nonlinear problems. Tech. Rep. Preprint No. A-17, Freie Universität Berlin, Fachbereich Mathematik.
- Huang, J., 2002, Computational methods for the discrete downward continuation of the Earth gravity and effects of lateral topographical mass density variations on gravity and the geoid. Ph.D. thesis, Department of Geodesy and Geomatics Engineering The University of New Brunswick, Fredericton, New Brunswick.
- Ilk, K. H., 1993, Regularization for high resolution gravity field recovery by future satellite techniques. In: Inverse Problems: Principles and Applications in Geophysics, Technology and Medicine, pp. 189-214.
- Ilk, K. H., Kusche, J., and Rudolph, S., 2000, A contribution to data combination in ill-posed downward continuation problems, IUGG 99 Joint Symposium JSA-37 (Earth's Gravity and
- Ardalan, A. A., 1999, High resolution regional geoid computation in the world geodetic datum 2000, based upon collocation of linearized observational functionals of the type GPS, gravity potential and gravity intensity , Ph.D. thesis, stuttgart university.
- Ardalan, A. A., and Grafarend, E.W., 2004, High-resolution regional geoid computation without applying Stokes's formula: a case study of the Iranian geoid. J. Geodesy, **78**, 138-156.
- Baker, C. T. H., 1977, The numerical treatment of integral equations. Clarendon press, Oxford.
- Bouman, J., 1998, Quality of regularization methods. Tech. Rep. 98.2, DEOS, Delft University Press, TU Delft, Delft.
- Ditmar, P., Klees, R., and Kostenko, F., 2003, Fast and accurate computation of spherical harmonic coefficients from satellite gravity gradiometry data. J. Geodesy, **76**, 690-705.
- Engl, H., Hanke, M., and Neubauer, A., 1996, Regularization of inverse problems. Kluwer Academic Press.
- Freedan, W., and Pereverzev, S., 2001, Spherical Tikhonov Regularization Wavelets in Satellite Gravity Gradiometry with Random Noise, J. Geodesy, **74**, 730-736.
- Grafarend, E. W., 2001, The spherical horizontal and spherical vertical boundary value problem-vertical deflections and geoidal undulations-the complete Meissl diagram. J. Geodesy, **75**, 363-390.
- Grafarend, E. W., and Ardalan A. A., 1999, World Geodetic Datum 2000, J. Geodesy, **73**, 611-623.
- Groetsch, C. W., 1984, The theory of Tikhonov regularization for Fredholm integral equations of the first kind. Pitman.

- numerical solution of certain integral equations of the first kind. *J. Assoc. comput. Mach.*, **9**, 84-96.
- Rasmussen, J. M., 2001, Compact linear operators and krylov subspace methods. Chapter 3. Thesis in the M.Sc degree.
- Rauhut, A., 1992, Regularization methods for the solution of the inverse Stokes problem. Ph.D. thesis, Department of Geomatics Engineering: The University of Calgary.
- Rummel, R, Schwarz, K. P., and Gerstl, M., 1979, Least squares collocation and regularization: *B. Geod.* **53**, 343-361. Bibliography 148.
- Safari, A., 2004, Ellipsoidal boundary value problem for geoid computations via modulus of gravity, astronomical longitude, astronomical latitude, and satellite altimetry observations. Ph.D. thesis. Department of Surveying and Geomatics Engineering, University of Tehran (In Persian).
- Safari, A., and Ardalan, A. A., 2004, On the solution existence of downward continuation Problem in ellipsoidal geoid computation without applying stokes formula. *Geophysical research abstracts*, volume 6, 2004. EGU-1st General Assembly.
- Safari, A., Ardalan, A. A., and Grafarend, E. W., 2005, A new ellipsoidal gravimetric, satellite altimetry, astronomic boundary value problem; case study: geoid of Iran. Accepted for publication in *J. Geodyn.*, **39**, 545-568.
- Schneider, F., 1996, The solution of linear inverse problems in satellite geodesy by means of spherical spline approximation. *J. Geodesy*, **71**, 2-15.
- Schneider, F., 1997, Inverse problems in satellite geodesy and their approximate solution by splines and wavelets. Ph.D Thesis, University of Kaiserslautern, Fachbereich Mathematik, No. D386, Shaker Verlag, Kaiserslautern, Germany.
- Schwarz, K. P., 1973, Investigations on the downward continuation of aerial gravity data. Technical Report 204, The Ohio State University, Department of Geodetic Science, Columbus, Ohio.
- Schwarz, K. P., 1979, Geodetic improperly posed problems and their regularization. *Boll. Geod. Sci.*, **38**, 389-416.
- Stakgold, I., 1979, Green's functions and boundary value problems. John Wiley & Sons, Inc.
- Tikhonov, A. N., 1963, Solution for incorrectly formulated problems and the regularization method. *Sov Math Dokl.*, **4**, 1035-1038.
- Magnetic Field from Space), *J. Geodyn.*, **33**, 75-99.
- Kern, M., Schwarz, K. P., and Sneeuw, N., 2003, A study on the combination of satellite, airborne, and terrestrial gravity data. *J. Geodesy*, **77**, 217-225.
- Klees, R., Bouman, J., Koop, R., and Visser, P. N. A. M., 2000, Regularization and downward continuation, In: Sünkel (ed.), From Eötvös to Milligal, Final Report, ESA/ESTEC, Contract No. 13392/98/LN/GD, Graz, Austria, 2000, pages 72-101.
- Kirsch, A., 1996, An introduction to the mathematical theory of inverse problems. Chapter 2, Springer-verlag. Vol. 120, New York.
- Kusche, J., 2001a, Inverse Probleme bei der Gravitationsfeldbestimmung mittels SST- und SGG-Satellitenmissionen, Habilitationsarbeit Universität Bonn.
- Kusche, J., 2001b, On fast multigrid iteration techniques for the solution of normal equations in satellite gravity recovery, IUGG 99 Joint Symposium JSA-37 (Earth's Gravity and Magnetic Field from Space), erscheint in: *J. Geodyn.*, **33**, 173-186.
- Kusche, J., 2001c, Implementation of multigrid solvers for satellite gravity anomaly recovery, *J. Geodesy*, **74**, 773-782.
- Kusche, J., and Rudolph, S., 2000, The multigrid method for satellite gravity field recovery, in: K. P. Schwarz (ed.), *Geodesy beyond year 2000*, Proc. IAG General Assembly, Birmingham.
- Kusche, J., and Klees, R., 2002, Regularization of gravity field estimation from satellite gravity gradients, *J. Geodesy*, **76**, 359-368.
- Lanczos, C., 1961, *Linear Differential Operators*. Van Nostrand, New York.
- Martinec, Z., 1996, Stability investigations of a discrete downward continuation problem for geoid determination in the Canadian Rocky Mountains. *Journal of Geodesy*, **70**, 805-828.
- NIMA, 2003, <http://docs.lib.duke.edu/maps/guides/govt.html>.
- Novak, P., and Heck, B., 2002, Downward continuation and geoid determination based on band-limited airborne gravity data. *J. Geodesy*, **76**, 269-278.
- Novak, P., Kern, M., Schwarz, K. P., and Heck, B., 2001b, The determination of the geoid from airborne gravity data. Tech. Rep. UCGE No. 30013, Department of Geomatics Engineering, Calgary.
- Phillips, D. L., 1962, A technique for the

- Tikhonov, A. N., and Arsenin, V. Y., 1977, Solutions of ill-posed problems. V. H. Winston and Sons; A Halsted Press Book, New York, Toronto, London, Syndey.
- Vancek, P., Sun, W., and Martinec, Z., et al., 1996, Downward continuation of Helmert's gravity. *J. Geodesy*, **71**, 21-34.
- Vanicek, P., Sun, W., Ong, P., Martinec, Z., Najafi M., Vajda, P., ter and Horst B., 1996, Downward continuation of Helmert's gravity. *J. Geodesy*, **71**, 21-34.
- Wenzel, H. G., 1998, Ultra hochauflösende Kugelfunktionsmodelle GPM98A und GPM98B des Erdschwerefeldes. In: Progress in Geodetic Science, W. Freeden (ed.) pp. 323-331, Shaker Verlag, Aachen 1998.
- Wong, J. C. F., 2000, On Picard criterion and the well-posed nature of harmonic downward continuation. Masterthesis, Department of Geodesy and Geomatics Engineering, The University of New Brunswick.
- WU, L., 2003, A parameter choice method for tikhonov regularization. ETNA Kent State University, Vol16, pp. 107-128.
- Xu, P., and Rummel, R., 1994, Generalized ridge regression with applications in determination of potential fields. *Manuscr. Geodaet.*, **20**, 8-20.